Lezione

Tecnica delle Costruzioni

Comportamento e modellazione del cemento armato

Modellazione del cemento armato

Comportamento del cemento armato

Il comportamento del cemento armato dipende dalle caratteristiche e dalla distribuzione dei suoi principali costituenti (calcestruzzo e acciaio delle barre di armatura).

• Una struttura in cemento armato è <u>fortemente eterogenea;</u> essa è ben diversa, dunque, dal materiale omogeneo e isotropo ipotizzato dalla teoria dell'elasticità lineare studiata dalla Scienza delle costruzioni.

Infatti:

- il *calcestruzzo* non è un materiale di per sé omogeneo, e la presenza (pur fisiologica) di fessure introduce delle discontinuità;
- le *barre di armatura* costituiscono una ulteriore disomogeneità, ed introducono una consistente differenza di comportamento a seconda della direzione delle azioni applicate.

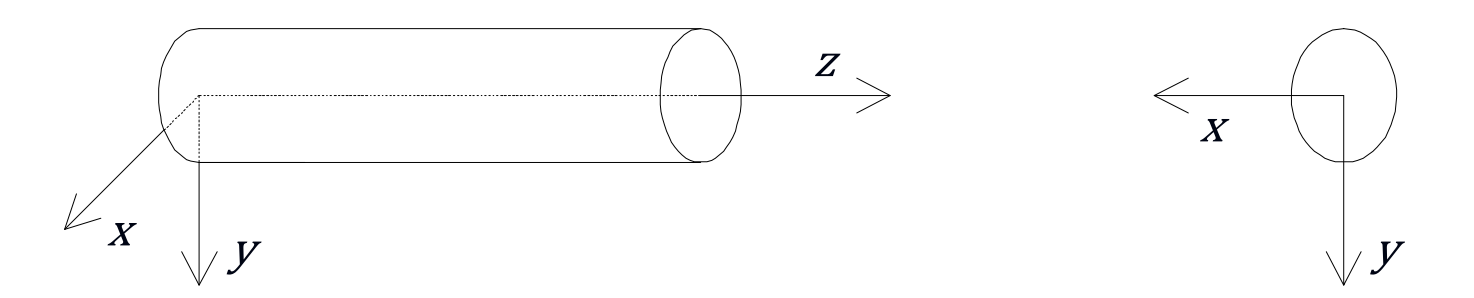
Modellazione del cemento armato

Dal comportamento reale al modello analitico

- Per analizzare numericamente una struttura in cemento armato occorre proporne dei modelli semplificati, i quali possono dipendere dal tipo di sollecitazione e dalla forma dell'elemento strutturale.
- Poiché sia il calcestruzzo che l'acciaio hanno un comportamento non lineare, questi modelli devono essere legati all'entità dello stato deformativo e tensionale.

Assi di riferimento, azioni esterne e comp. di movimento

Il sistema di riferimento locale per un'asta è costituito convenzionalmente da una terna di assi aventi l'origine nel baricentro geometrico della sezione. L'asse z è parallelo all'asse dell'asta ed orientato da sinistra verso destra.

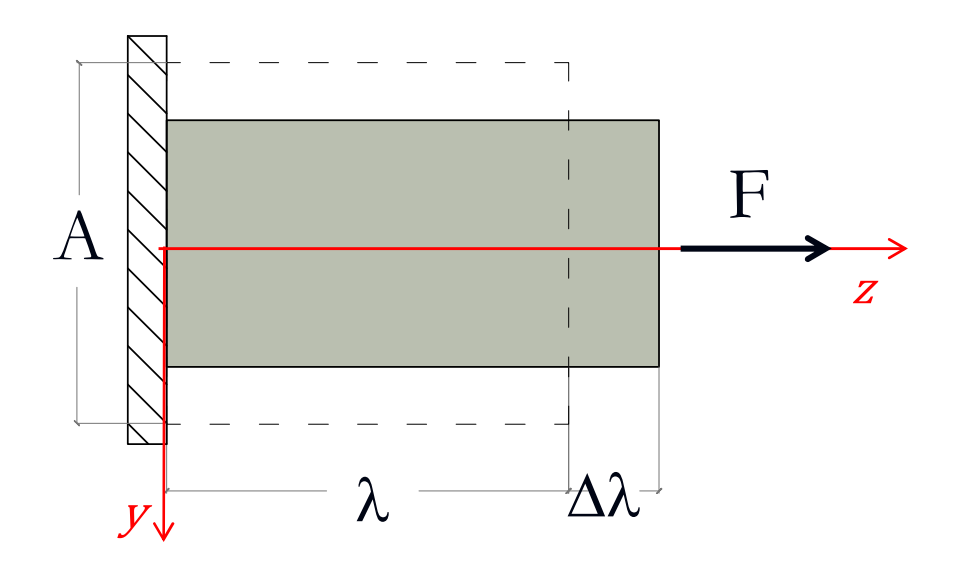


Nel piano della sezione, l'asse x è orizzontale ed orientato da destra verso sinistra, mentre l'asse y è orientato dall'alto verso il basso.

Si considera come direzione positiva degli spostamenti *u*, *v*, *w*, quella concorde con il verso positivo degli assi; come verso positivo di rotazione quello che porta *x* su *y*, *y* su *z* e *z* su *x*. Analoga convenzione vale per le azioni esterne.

Deformazioni e tensioni normali

Si considerano positive le deformazioni unitarie ϵ di allungamento e le tensioni normali σ di trazione.

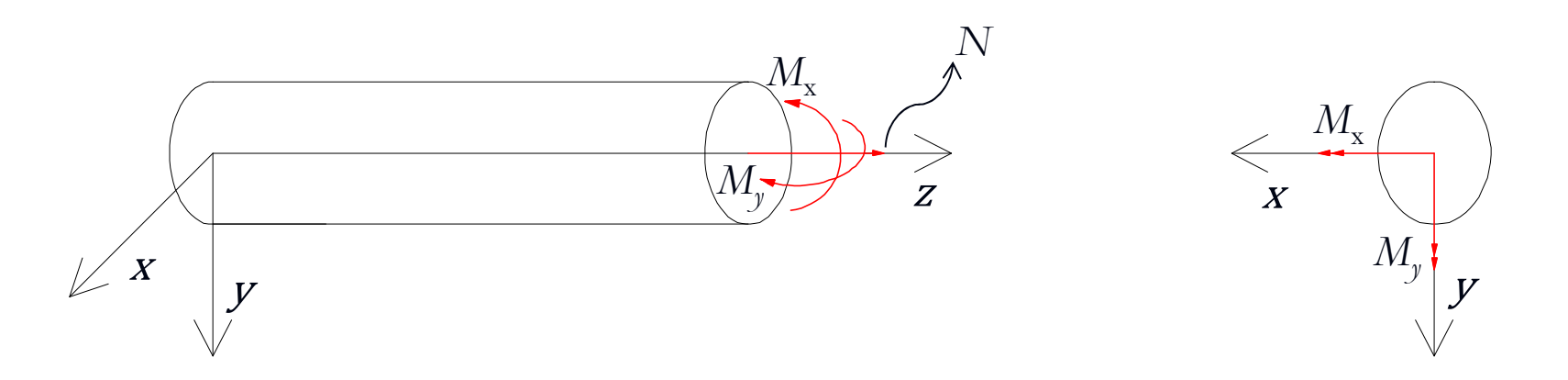


$$\sigma = F/A \implies (+)$$

$$\varepsilon = \Delta \lambda / \lambda \Longrightarrow (+)$$

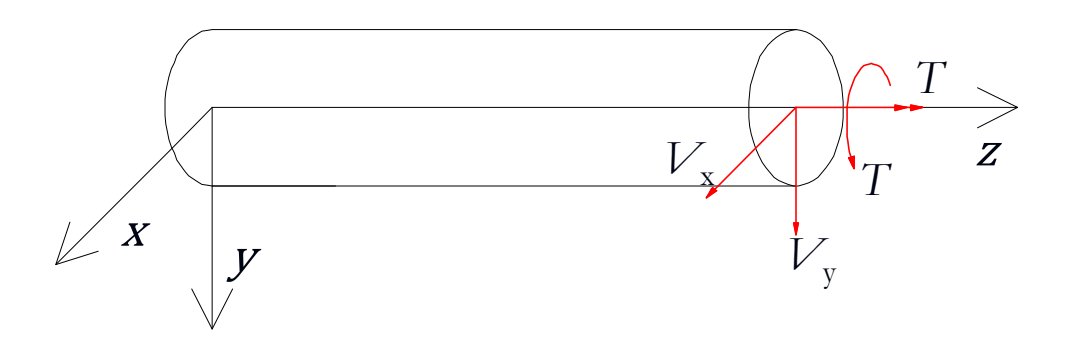
Caratteristiche della sollecitazione

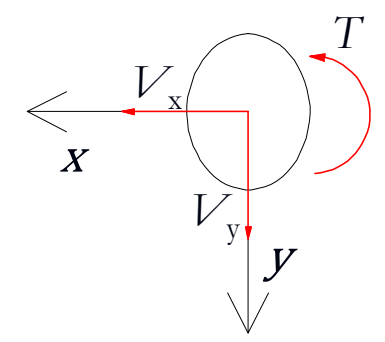
- Lo **sforzo normale** N é positivo se di trazione
- Il momento flettente M_x è positivo se ha il verso che porta y su z (esso quindi tende le fibre inferiori)
- Il momento flettente M_y è positivo se ha il verso che porta z su x



Caratteristiche della sollecitazione

- Il **taglio** è indicato con il simbolo V. Le componenti del taglio lungo gli assi X ed Y (V_x e V_y) sono positive se concordi con il verso positivo degli assi.
- Il **momento torcente** *T* è positivo se ha il verso che porta *X* su *Y*.





Relazioni tra carichi, sollecitazioni e comp. di movimento

In conseguenza alla convenzione dei segni appena definita, le equazioni differenziali che legano i carichi, le caratteristiche della sollecitazione e le componenti di movimento in uno schema piano sono:

$$\frac{dw}{dz} = \frac{N}{EA} \qquad \qquad \frac{dN}{dz} = -n$$

$$\frac{dN}{dz} = -n$$

dove:

$$\frac{d\upsilon}{dz} = -\varphi + \frac{\chi V}{GA} \qquad \qquad \frac{d\varphi}{dz} = \frac{M}{EI}$$

$$\frac{d\varphi}{dz} = \frac{M}{EI}$$

v, w

sono le componenti di movimento secondo gli assi y e z

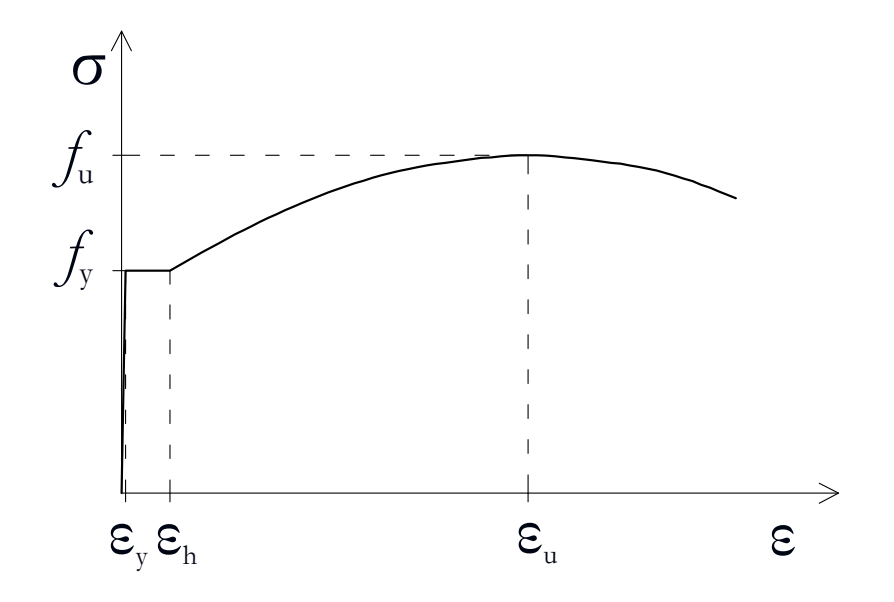
$$\frac{dM}{dz} = V - m$$

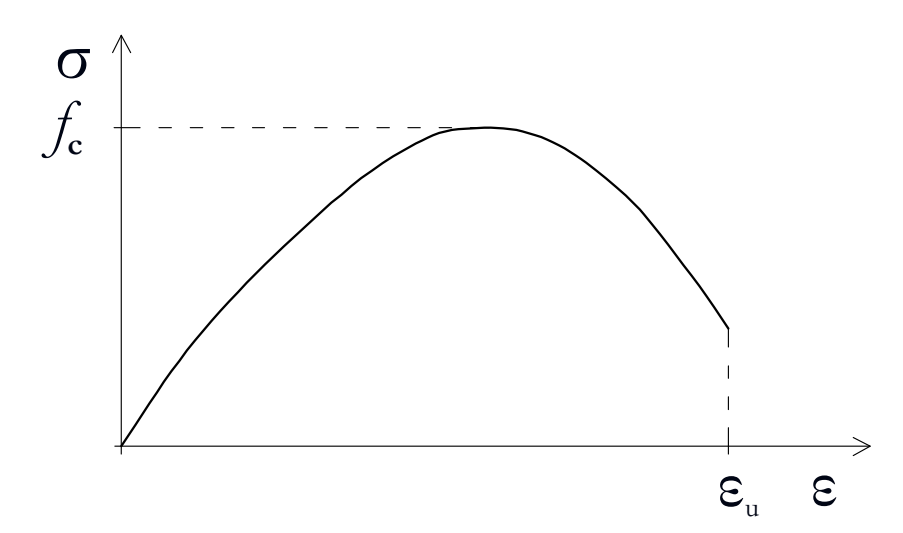
$$\frac{dV}{dz} = -q$$

sono i carichi distribuiti n, q, m assiali, taglianti e flettenti

Comportamento reale

I modelli sono delle rappresentazioni semplificate del comportamento dei materiali, e sono utilizzati per descrivere in maniera analitica l'andamento dei legami costitutivi σ - ϵ





Stadi del calcestruzzo

Con riferimento al calcestruzzo, si possono distinguere

tre stadi di comportamento

(definiti in base alle tensioni e alle deformazioni provocate dai carichi).

Primo stadio

Deformazioni e tensioni molto piccole;

• Secondo stadio

Deformazioni e tensioni più grandi, ma ancora lontane da quelle di rottura;

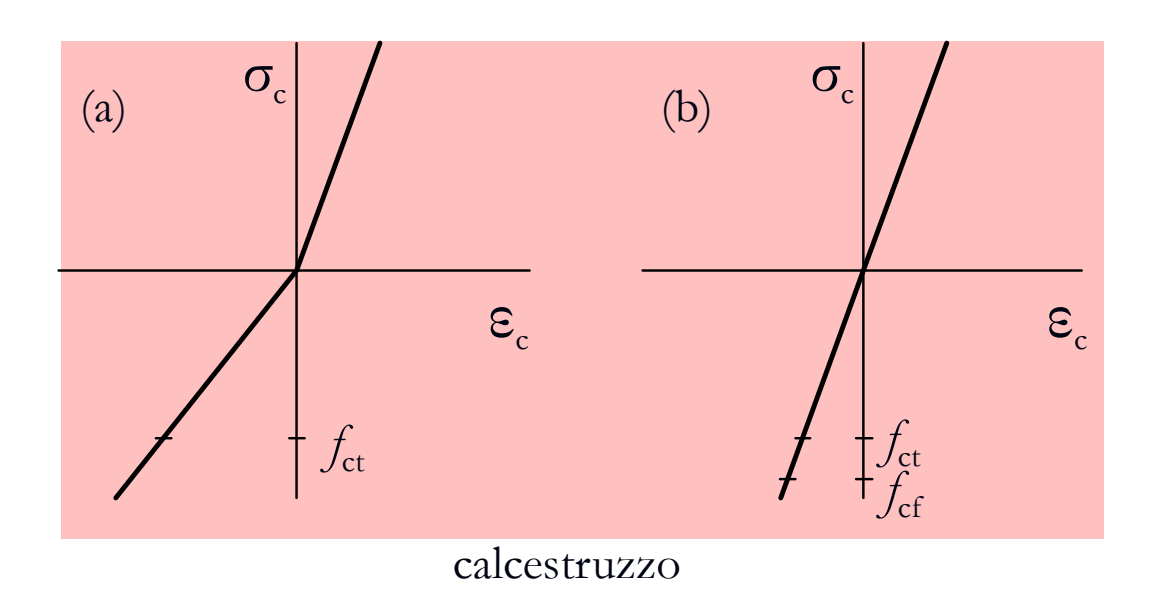
• Terzo stadio

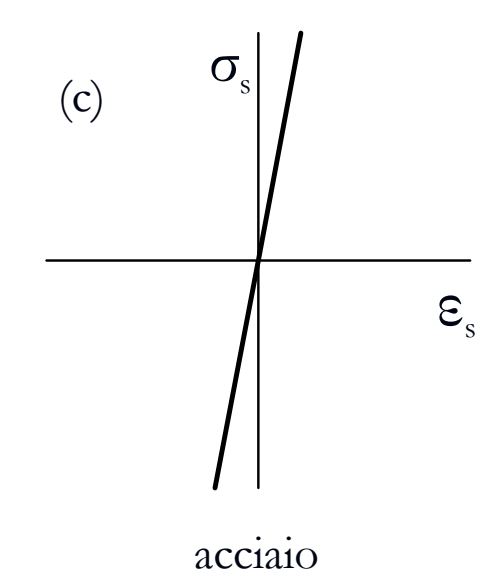
Deformazioni e tensioni elevate.

Per ciascuno di questi stadi viene proposto un diverso modello del materiale:

Primo stadio

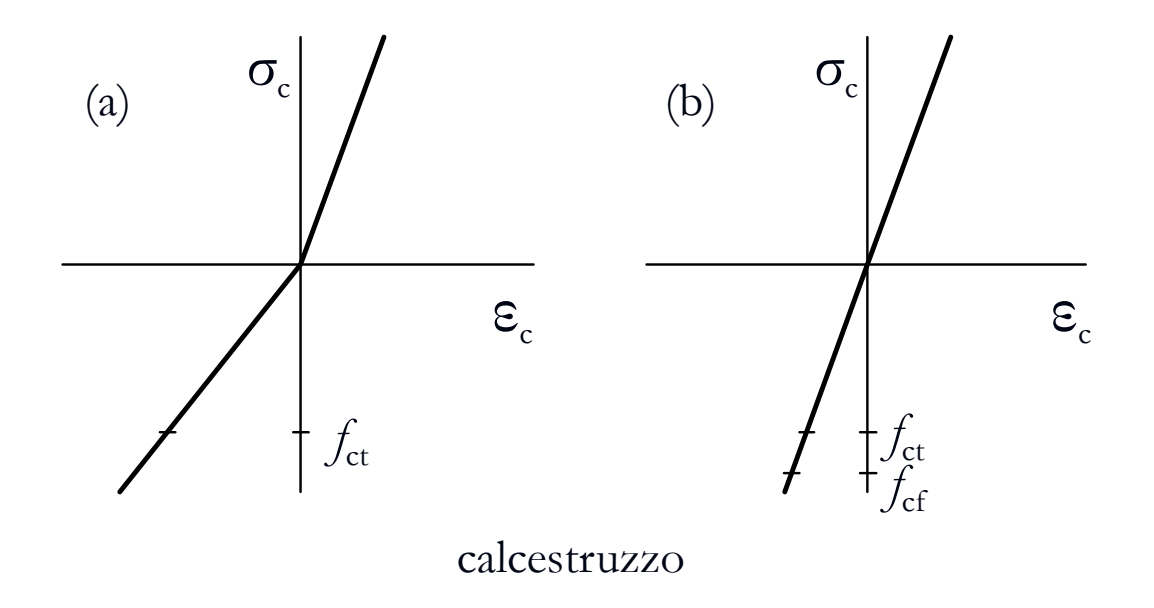
• Carichi molto bassi (conseguenti deformazioni e tensioni molto piccole) Si può ipotizzare che il calcestruzzo abbia un comportamento lineare sia a compressione che a trazione (sebbene l'andamento delle tensioni nel calcestruzzo teso sia non lineare al crescere delle deformazioni).

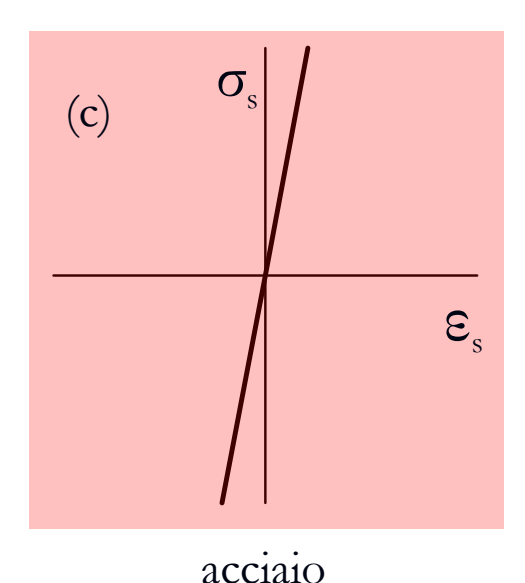




Primo stadio

• Carichi molto bassi (conseguenti deformazioni e tensioni molto piccole) Si può ipotizzare che l'acciaio abbia un comportamento linearmente elastico, sia a trazione che a compressione (c).





Primo stadio: schema riassuntivo

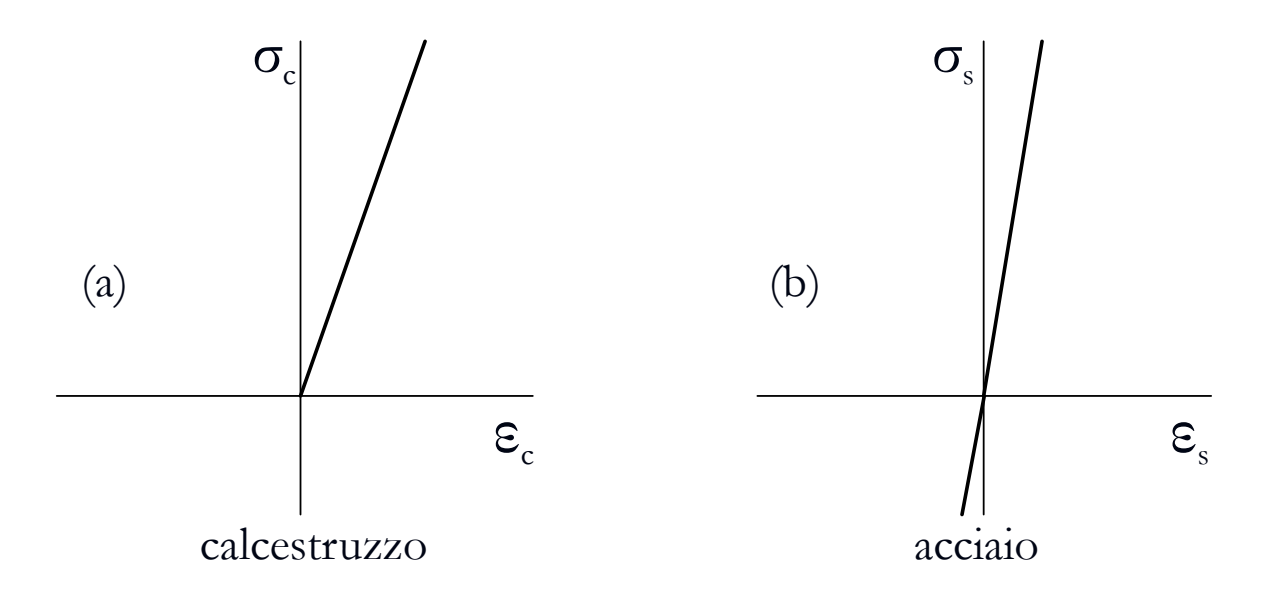
- **Tipi di carico**: carichi molto bassi, con conseguenti deformazioni e tensioni molto piccole;
- Impiego del modello: per la determinazione della caratteristica di sollecitazione che porta alla rottura per trazione (il modello si utilizza ad esempio nel calcolo del momento flettente o dello sforzo normale di prima fessurazione, nelle verifiche allo s.l.e. di fessurazione, oppure nel valutare l'azione che porta a rottura il "dente" del modello a pettine usato nel valutare la resistenza a taglio di sezioni non armate);
- Comportamento del calcestruzzo: elastico lineare sia a trazione che a compressione;
- Comportamento dell' acciaio: elastico lineare;

Le formule della Scienza delle costruzioni per la determinazione dello stato tensionale possono essere applicate alla sezione omogeneizzata (nota a priori).

Secondo stadio

• Valori dei carichi più frequenti (deformazioni e tensioni più alte ma ancora lontane da quelle di rottura).

Si può ipotizzare che il calcestruzzo compresso abbia un comportamento elastico lineare e che la resistenza del calcestruzzo teso sia nulla (a). Per l'acciaio si continua ad utilizzare un modello elastico lineare (b).



Secondo stadio: schema riassuntivo

- **Tipi di carico**: valori del carico più frequenti, con deformazioni e tensioni alquanto alte ma ancora lontane da quelle di rottura;
- Impiego del modello: per le verifiche agli stati limite di esercizio (dopo la fessurazione). Il primo passo della verifica è la determinazione della posizione dell'asse neutro. Questo modello si utilizzava anche per le verifiche alle tensioni ammissibili.
- Comportamento del calcestruzzo: elastico lineare, resistente solo a compressione;
- Comportamento dell' acciaio: elastico lineare;

Le formule della Scienza delle costruzioni per la determinazione dello stato tensionale possono essere applicate alla sezione reagente omogeneizzata (non conosciuta a priori).

Terzo stadio

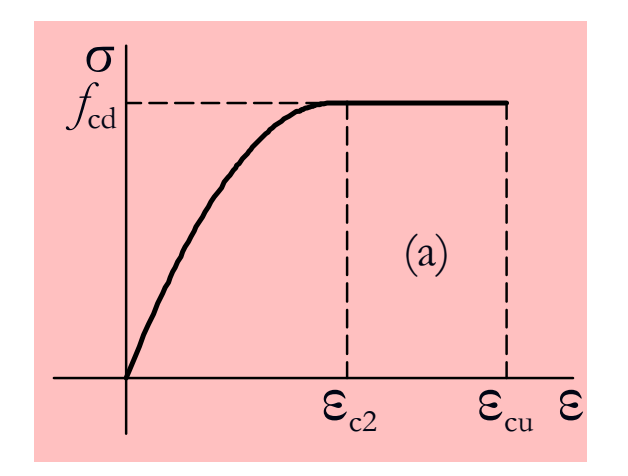
Valori di carico per cui si raggiungono deformazioni molto elevate.
 In questo caso è necessario tenere conto dell'andamento non lineare del legame σ-ε, evidenziato dalle prove sperimentali.

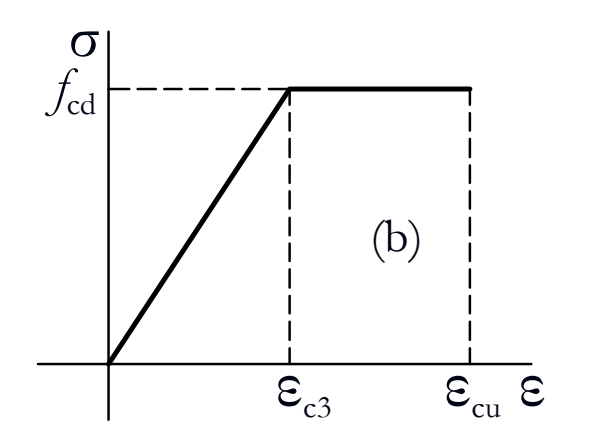
Per quanto riguarda il calcestruzzo, si ipotizza che la resistenza a trazione sia nulla. Le prove di schiacciamento mostrano un andamento del diagramma σ - ε non-lineare e una tensione crescente fino ad un valore di deformazione ε_{c0} prossimo a 2‰. Se la prova è condotta imponendo deformazioni (e non carichi) si nota un successivo tratto discendente, fino al valore di rottura ε_{cu} della deformazione. La presenza di staffe riduce la pendenza del tratto discendente ed aumenta in modo rilevante il valore della deformazione ultima.

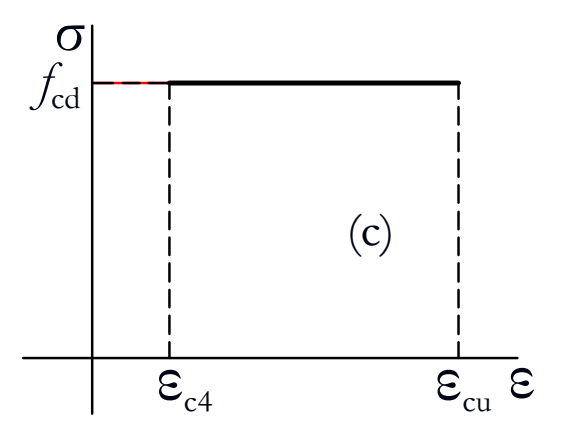
Terzo stadio

• Valori di carico per cui si raggiungono deformazioni molto elevate.

Per valutare la resistenza ultima di una sezione si considerano i seguenti modelli semplificati:





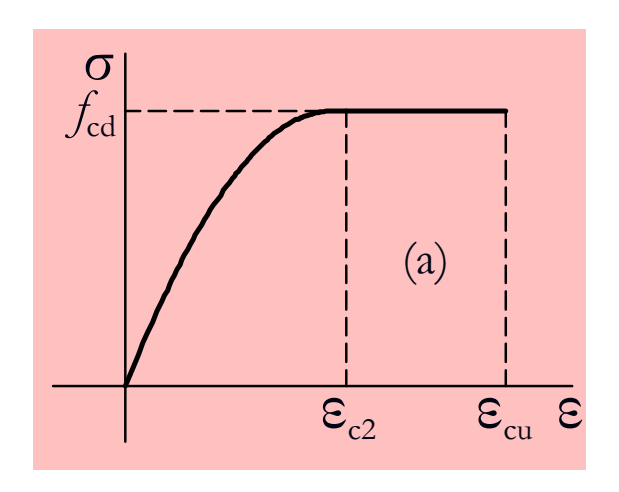


Terzo stadio: deformazioni (diagramma parabola-rettangolo)

- Per calcestruzzi con classe di resistenza minore o uguale alla C50/60, ε_{c2} vale 0.0020, mentre ε_{c1} vale 0.0035 (NTC 08, punto 4.1.2.1.2.2.).
- Per calcestruzzi con classe di resistenza maggiore della C50/60 la normativa impone i seguenti limiti:

$$\varepsilon_{c2} = 0.0020 + 0.000085 (f_{ck} - 50)^{0.53}$$

$$\varepsilon_{\rm cu} = 0.0026 + 0.035 \left[(90 - f_{\rm ck}) / 100 \right]^4$$



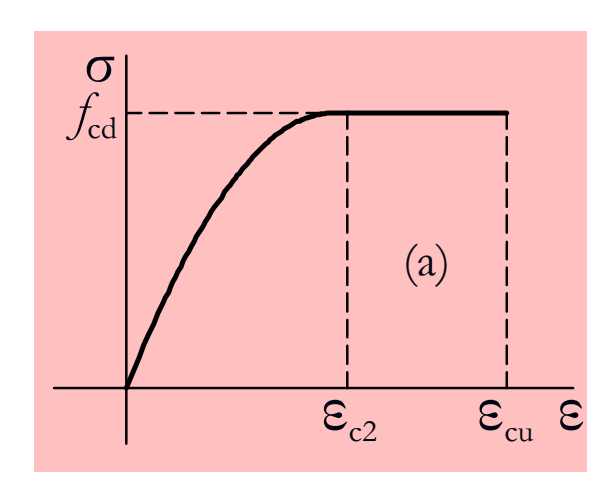
- ullet ullet rappresenta il valore di deformazione associato al punto di massima della parabola;
- ϵ_{cu} rappresenta il valore finale del tratto orizzontale del grafico, ed è riferito al caso delle sezioni parzializzate (in parte tese e in parte compresse).

Terzo stadio: tensioni (diagramma parabola-rettangolo)

Il valore ultimo della resistenza a compressione è rappresentato dal valore di calcolo $f_{\rm cd}$. Il legame costitutivo è espresso analiticamente dalle relazioni:

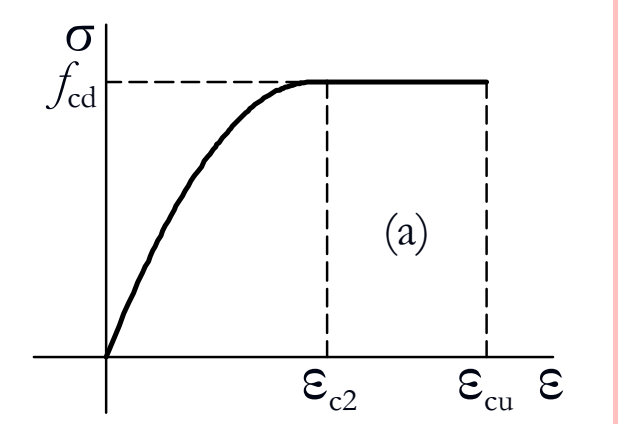
$$\sigma_{\rm c} = -\eta (2-\eta) f_{\rm cd}$$
 per $0 \le \eta \le 1$
 $\sigma_{\rm c} = -f_{\rm cd}$ per $1 \le \eta \le \varepsilon_{\rm cu} / \varepsilon_{\rm c2}$

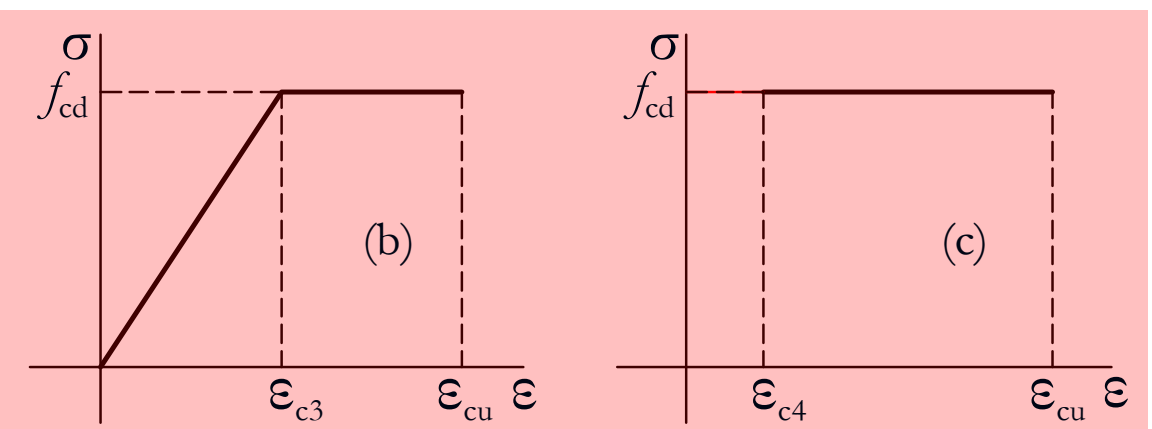
con
$$\eta$$
= - ϵ_c / ϵ_{c2}



Terzo stadio (diagramma lineare-costante; diagr. costante)

- Il modello (b) è costituito da un tratto lineare fino alla deformazione ε_{c3} (pari a 1.75‰ per calcestruzzi fino alla C50/60) e da un tratto costante.
- Il modello (c) considera una tensione costante per un tratto compreso tra $0.2 \ \epsilon_{\rm cu}$ ed $\epsilon_{\rm cu}$ (ovvero per l'80% della capacità deformativa del calcestruzzo).

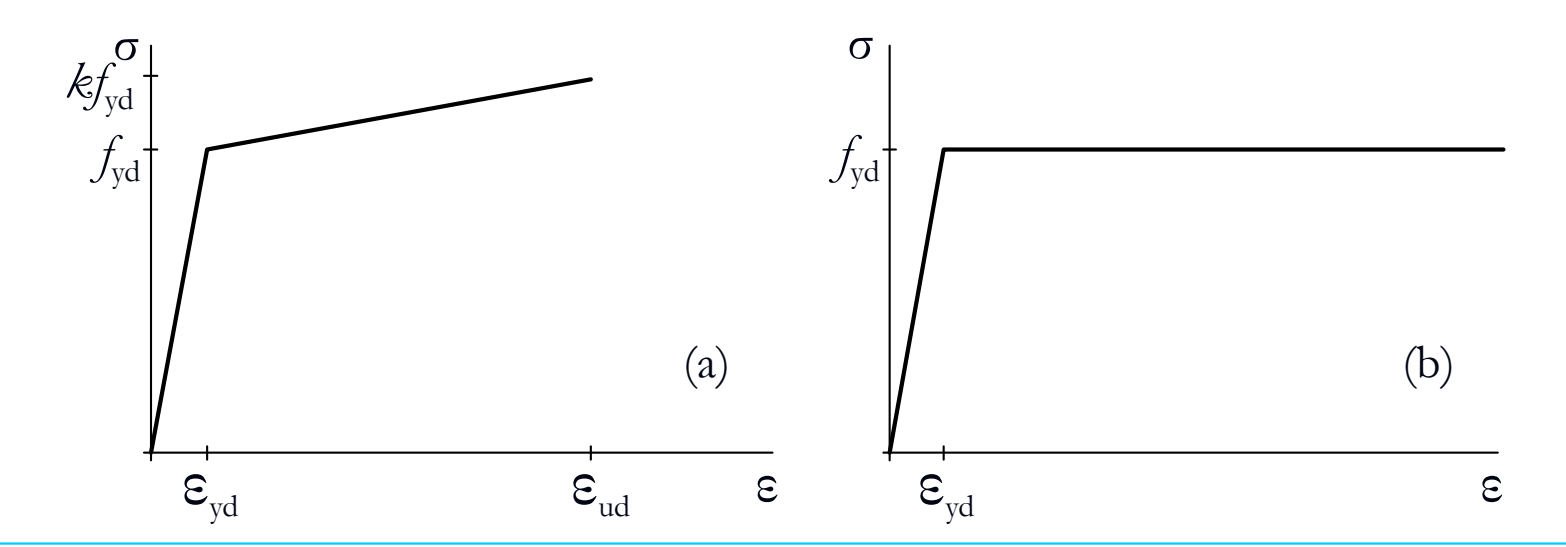




Terzo stadio (acciaio)

Per quanto riguarda l'acciaio:

- Il modello (a) è costituito da un tratto elastico (fino al valore f_{yd}) al quale segue un tratto plastico incrudente, con inclinazione tale da raggiungere il valore kf_{yd} per una deformazione ε_{ud} .
- Il modello (b) è costituito da un tratto elastico, fino a f_{yd} , e da uno perfettamente plastico, senza limiti di deformazione dell'acciaio.



Modellazione del cemento armato in presenza di sforzo normale e momento flettente

Ipotesi di partenza

Lo stato deformativo-tensionale che nasce per effetto di sforzo normale e momento flettente è costituito da deformazioni ε_z e tensioni normali σ_z dirette secondo l'asse dell'asta.

Le ipotesi di partenza nell'analisi di un elemento in conglomerato cementizio armato sono due:

1) **PERFETTA ADERENZA** tra calcestruzzo e armatura.

Questa ipotesi implica che i due materiali abbiano uguale deformazione nei punti di contatto.

2) CONSERVAZIONE DELLE SEZIONI PIANE.

Questa ipotesi equivale a dire che il diagramma delle deformazioni longitudinali ε_z è rappresentato da un piano nello spazio x, y, ε_z .

Ipotesi di partenza

La seconda ipotesi implica che la deformazione in un punto della sezione è legata alle coordinate x e y del punto dalla seguente relazione lineare:

$$\varepsilon = \varepsilon_0 + \chi_x \, x + \chi_y \, y$$

nella quale:

ε₀ rappresenta la deformazione del punto di origine degli assi, coincidente in genere con il baricentro G della sezione.

$$\chi_x = \frac{\delta \varepsilon_z}{\delta x}$$
 rappresenta la curvatura nel piano x-z (derivata di ε_z rispetto a x)

$$\chi_y = \frac{\delta \varepsilon_z}{\delta y}$$
 rappresenta la curvatura nel piano y-z (derivata di ε_z rispetto a y)

Caratteristiche della sollecitazione

Come si determinano le caratteristiche della sollecitazione corrispondenti a definiti diagrammi di deformazione?

- 1. Il diagramma delle deformazioni della sezione, valido sia per l'acciaio che per il calcestruzzo per l'ipotesi di perfetta aderenza, è definito dai tre parametri ϵ_0 , χ_x e χ_y .
- 2. Conoscendo il legame costitutivo σ - ϵ del materiale, anche la tensione normale σ_z è definita univocamente in ciascun punto della sezione (in maniera distinta per acciaio e calcestruzzo), in funzione della deformazione e quindi dei tre parametri ϵ_0 , χ_x e χ_y .

Caratteristiche della sollecitazione

3. Noto lo stato tensionale, le caratteristiche della sollecitazione N, M_x ed M_y sono pari a:

$$N = \int \sigma_z dA$$

$$M_x = \int \sigma_z y dA$$

$$M_y = -\int \sigma_z x dA$$

Nota: nell'applicare queste espressioni, il legame costitutivo sperimentale del materiale viene sostituito da modelli semplificati definiti in relazione alla entità di tensioni e deformazioni dovute ai carichi. Il modo di operare è quindi legato ai tre stadi di comportamento visti in precedenza.

Modellazione in presenza di N e M 1º stadio

Modello:

Calcestruzzo – lineare elastico Acciaio – lineare elastico

Ricorda:

- **1.** Questo può essere utilizzato fintanto che il calcestruzzo non è ancora fessurato.
- 2. Pur ipotizzando che il calcestruzzo sia omogeneo ed isotropo ed abbia un comportamento elastico lineare a compressione le formule di Scienza delle Costruzioni non possono essere usate a causa della presenza del materiale acciaio, con caratteristiche nettamente diverse da quelle del calcestruzzo.

1º stadio (Omogeneizzazione della sezione)

Date due aree elementari dAc di calcestruzzo e dAs di acciaio, sottoposte ad una stessa deformazione ϵ si ha:

$$dA_c \quad \boxed{\text{CLS}} \qquad \boxed{\text{ACC}} \quad dA$$

$$\sigma_c = E_c \, \epsilon \qquad \qquad \sigma_s = E_s \, \epsilon$$

$$\sigma_s = \frac{E_s}{E_c} \, \sigma_c = n \, \sigma_c$$
Coefficiente di omogeneizzazione

1º stadio (Omogeneizzazione della sezione)

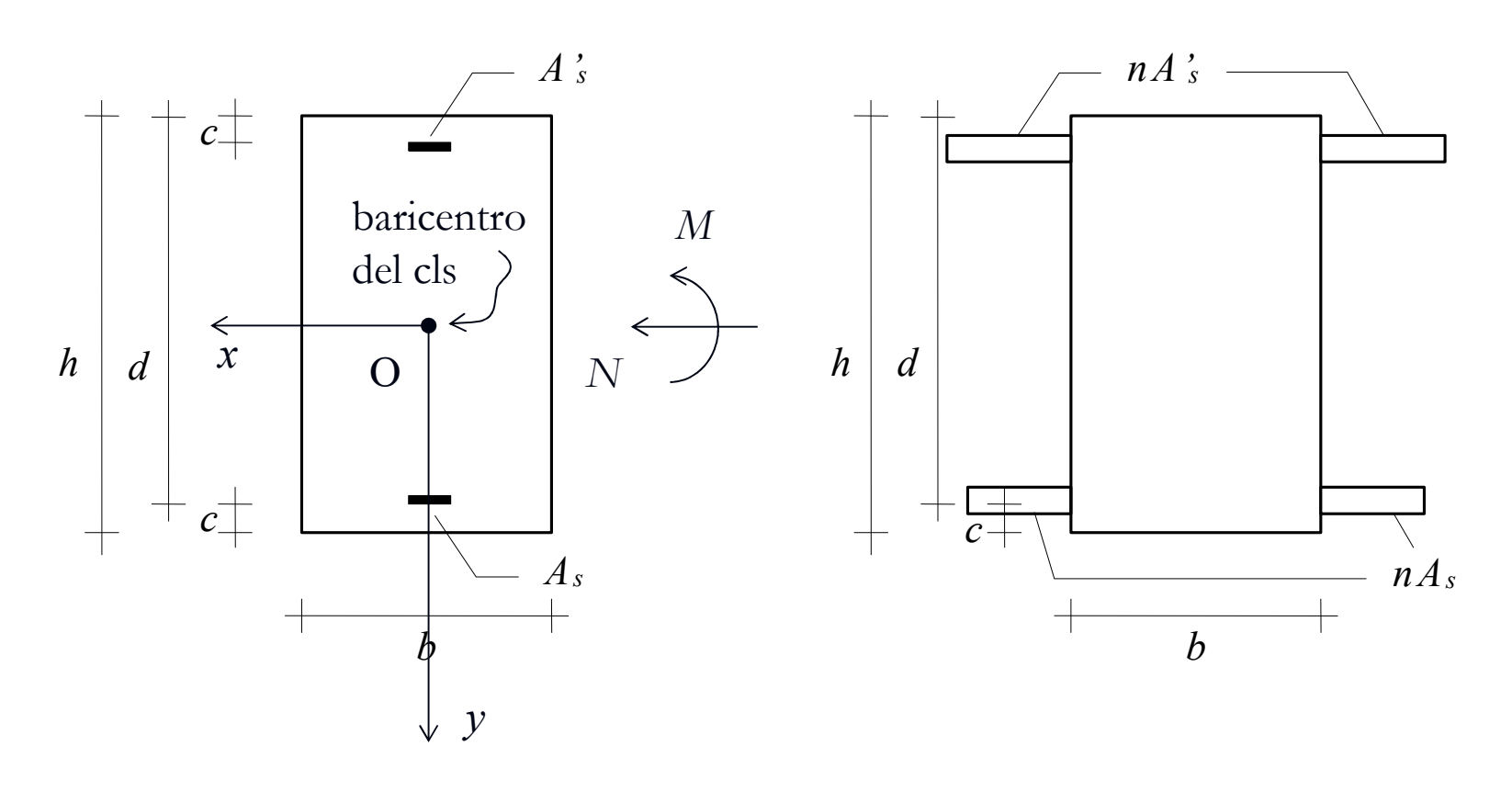
Ciò significa che, data una qualunque area elementare dA

- Se si suppone che questa area elementare sia di calcestruzzo ($dA=dA_c$) il contributo di questa area alla risultante delle tensioni normali vale $\sigma_c dA$
- Se si suppone che questa area elementare sia di acciaio (dA=dA_s) il contributo di questa area alla risultante delle tensioni normali vale n $\sigma_c dA$

Per definire una sezione di materiale omogeneo, equivalente nei confronti delle azioni di sforzo normale e momento flettente, è sufficiente sostituire all'area del materiale acciaio un'area di calcestruzzo pari a quella dell'acciaio moltiplicata per il coefficiente di omogeneizzazione, ovvero dA_s =nd A_c

Nota: l'area equivalente di calcestruzzo (ndA_c) deve essere sottoposta alla stessa deformazione normale dell'area di acciaio da sostituire.

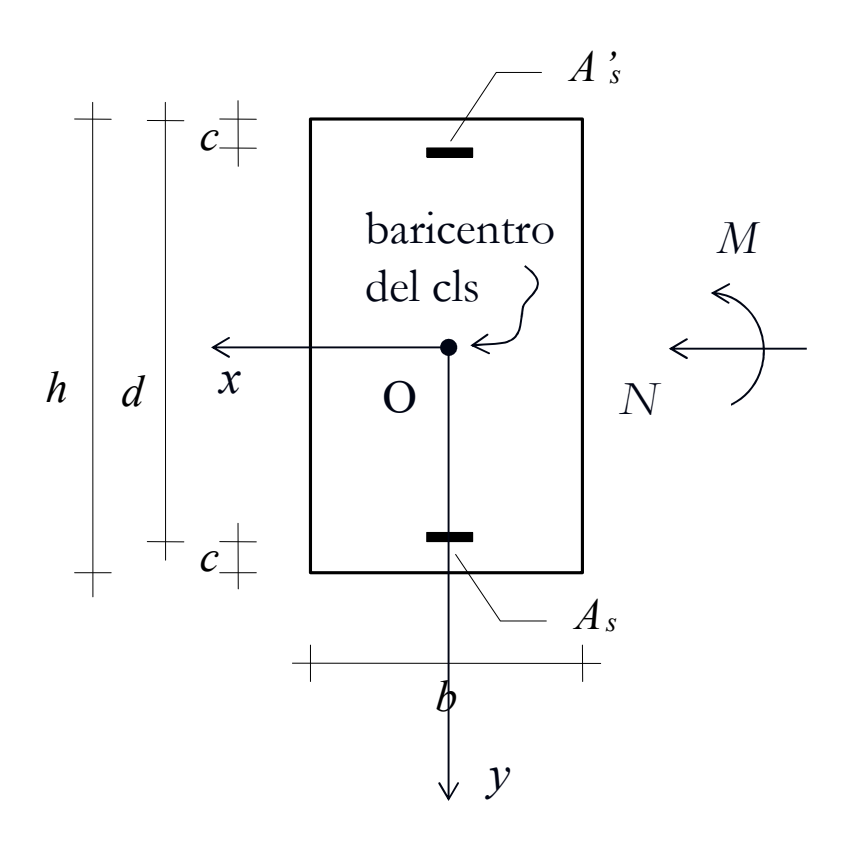
1º stadio (Omogeneizzazione della sezione)



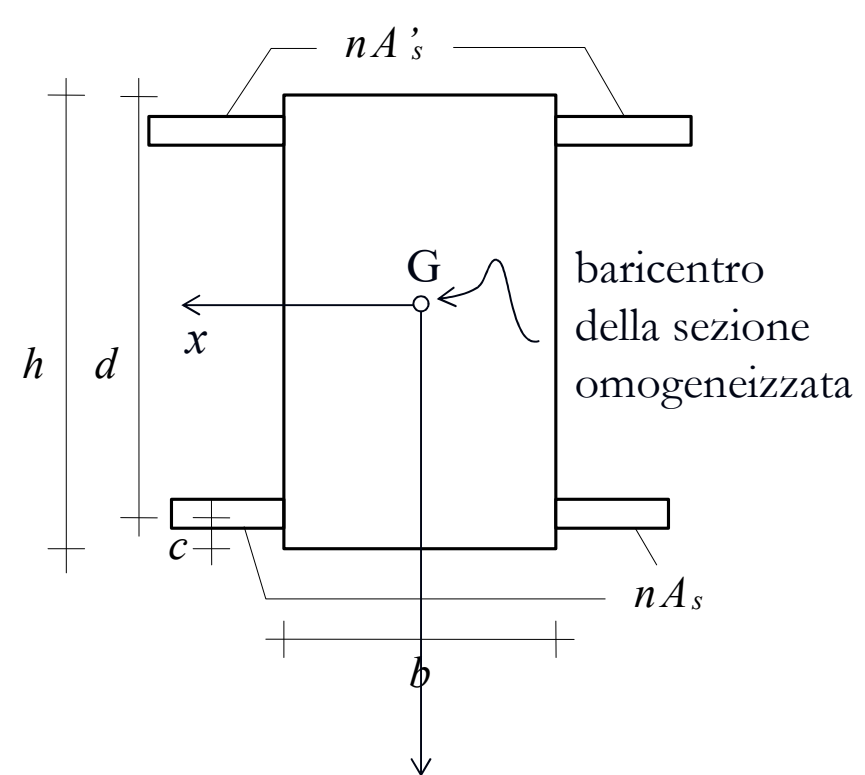
Sezione reale

Sezione omogeneizzata

1º stadio (Baricentro della sezione omogeneizzata)



O e' il punto per cui passa l'asse dell'elemento



G e' l'origine del sistema per l'applicazione delle formule di Scienza

1º stadio (Formule di Scienza delle Costruzioni)

Con riferimento alla sezione omogeneizzata vale la formula di Scienza delle Costruzioni

$$\sigma = E\left(\varepsilon_G + \chi_x \, x + \chi_y \, y\right)$$

Pertanto:

$$N = E \, \varepsilon_G \int dA + E \, \chi_x \int x dA + E \, \chi_y \int y dA = \qquad E \, \varepsilon_G A$$

$$M_x = E \, \varepsilon_G \int y dA + E \, \chi_x \int x y dA + E \, \chi_y \int y^2 dA = \qquad E \, \chi_y I_x$$

$$M_y = E \, \varepsilon_G \int x dA + E \, \chi_x \int x^2 dA + E \, \chi_y \int x y dA = \qquad -E \, \chi_x I_y$$
 essendo
$$\int x dA = \int y dA = 0 \quad \text{e} \quad \int x \, y \, dA = 0$$

1º stadio (Formule di Scienza delle Costruzioni)

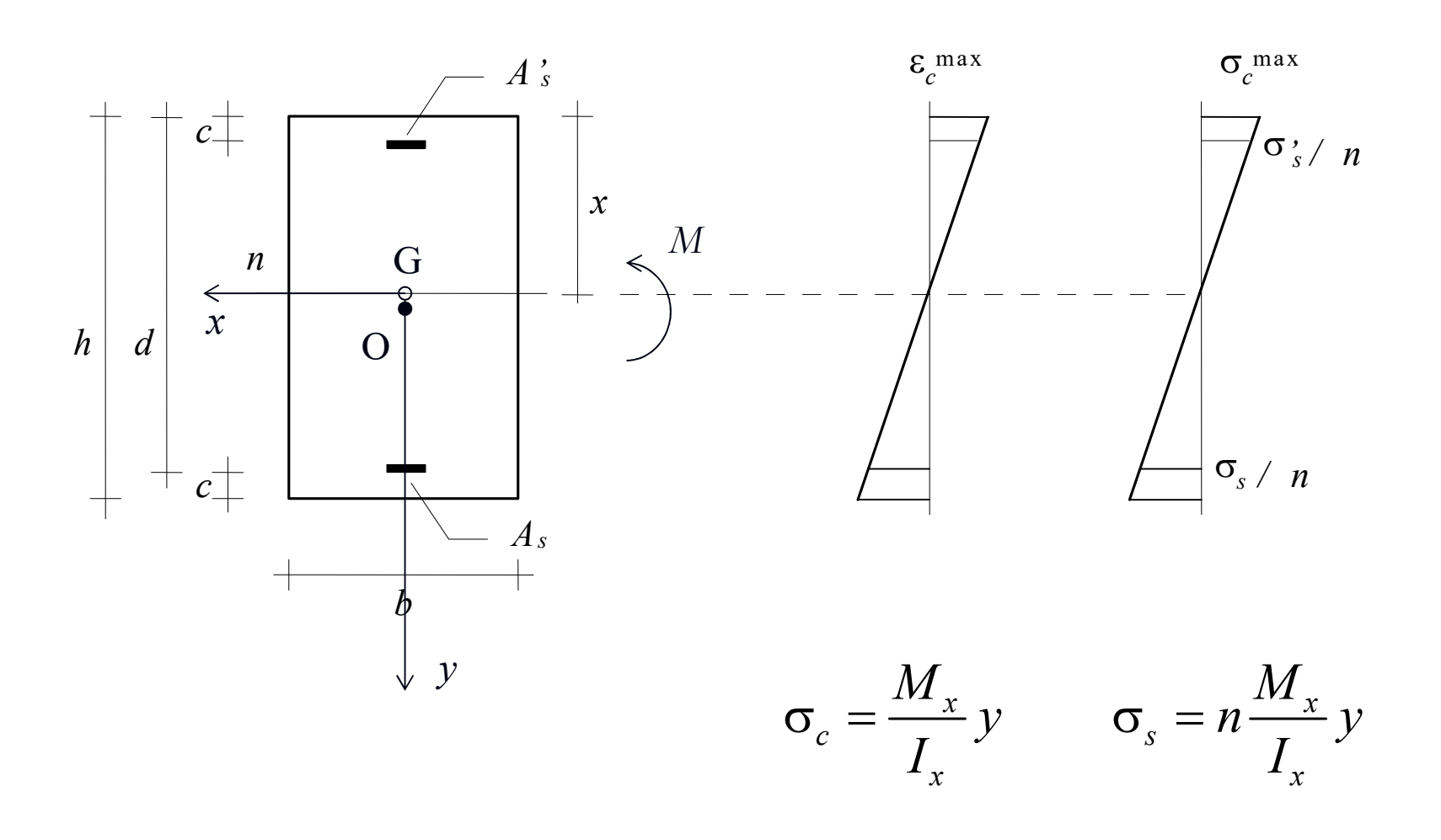
Dalle relazioni delle caratteristiche della sollecitazione si ottiene:

$$\varepsilon_G = \frac{N}{EA} \qquad \qquad \chi_x = -\frac{M_y}{EI_y} \qquad \qquad \chi_y = \frac{M_x}{EI_x}$$

e per sostituzione nella precedente relazione $\sigma = E(\varepsilon_G + \chi_x x + \chi_y y)$

$$\sigma = \frac{N}{A} - \frac{M_y}{I_y} x + \frac{M_x}{I_x} y$$

1º stadio (Calcolo delle tensioni)



Modellazione in presenza di N e M 2º stadio

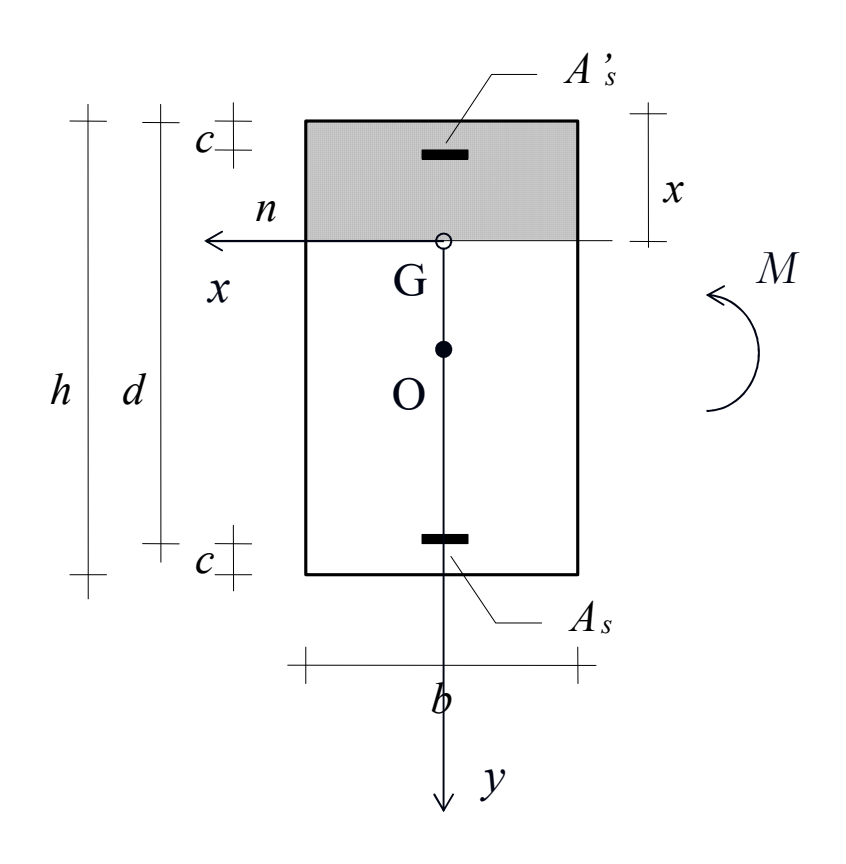
Modello:

Calcestruzzo – lineare elastico a compressione e nullo a trazione Acciaio – lineare elastico

Ricorda:

- 1. Questo modello può essere utilizzato fintanto che il calcestruzzo presenta un comportamento a compressione moderatamente non lineare.
- 2. Le formule di Scienza delle Costruzioni possono essere utilizzate se si determina prima l'area del calcestruzzo reagente a compressione

2º stadio (Calcolo delle tensioni)



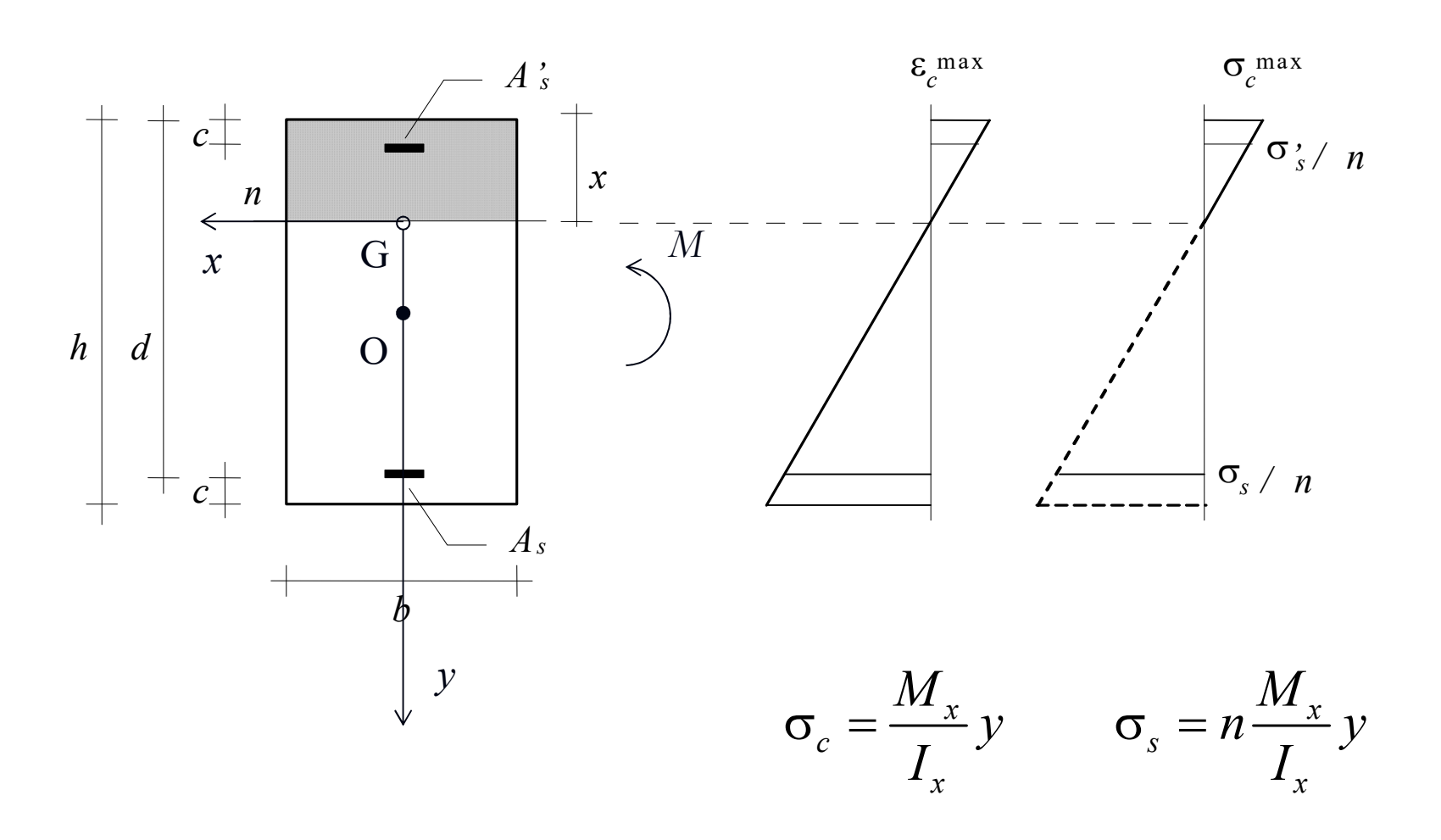
La sezione costituita da:

- calcestruzzo compresso
- armatura omogeneizzata

prende il nome di

sezione reagente omogeneizzata

2º stadio (Calcolo delle tensioni)



Modellazione in presenza di N e M 3° stadio

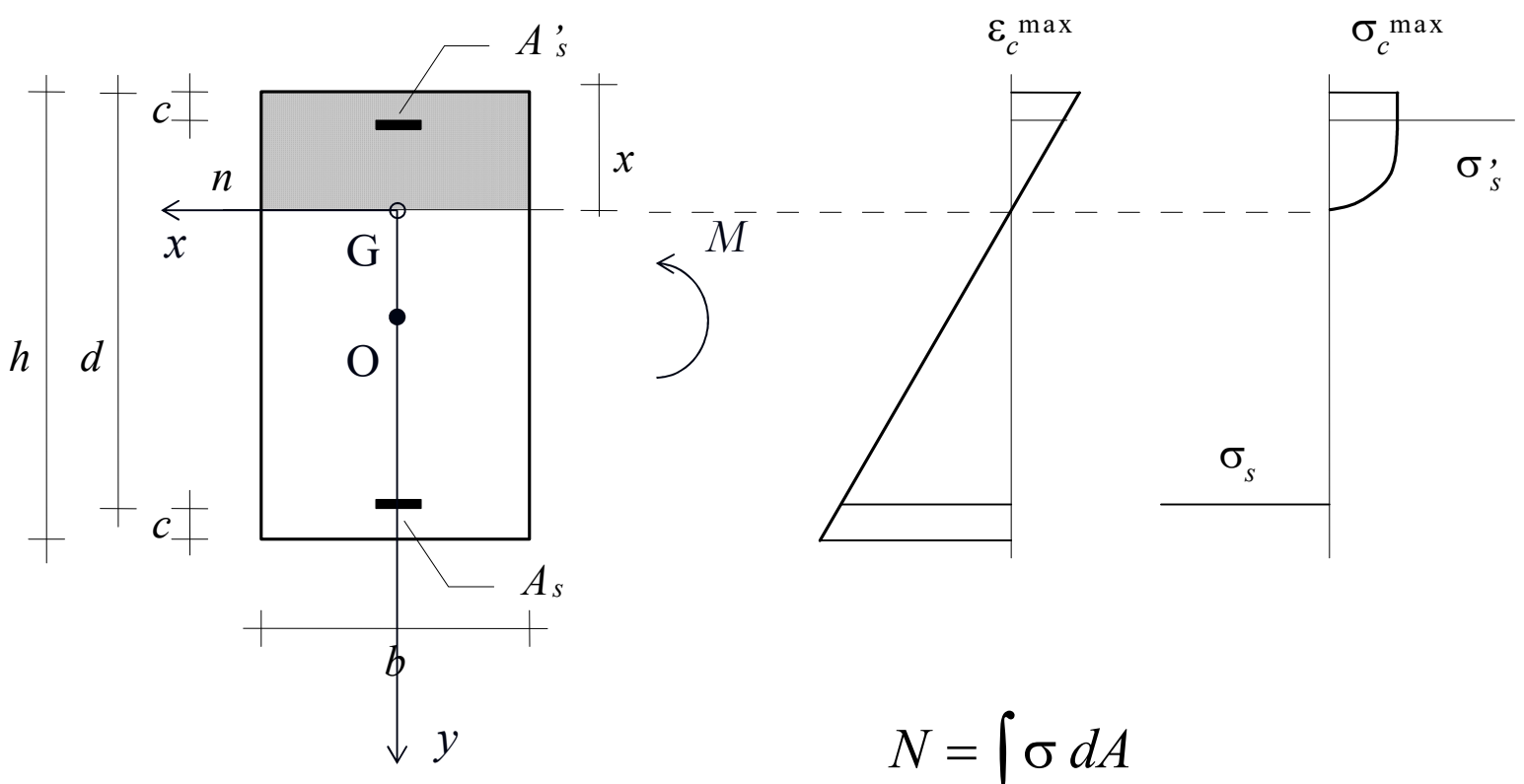
Modello:

Calcestruzzo – non lineare a compressione e nullo a trazione Acciaio – non lineare

Ricorda:

- 1. Questo modello e' utilizzato per valutare l'attingimento dello stato limite ultimo di sezioni.
- 2. Non e' possibile fare uso delle relazioni di Scienza delle Costruzioni che ipotizzano legami costitutivi lineari elastici.

3° stadio (Calcolo delle tensioni)



Le caratteristiche delle sollecitazione valgono:

$$N = \int \sigma \, dA$$

$$M_x = \int \sigma \, y \, dA \qquad M_y = -\int \sigma \, x \, dA$$

